



R O M Â N I A  
MINISTERUL EDUCAȚIEI, CERCETĂRII ȘI TINERETULUI

**UNIVERSITATEA "DUNAREA DE JOS" DIN GALAȚI**

STR. DOMNEASCĂ, NR. 47

800008, GALAȚI, ROMÂNIA

Tel.: (+40) 236 - 414112 /3 /4; 413602;  
460328

Fax: (+40) 236 - 461353; 460904;  
460426

E-mail: [rectorat@univ.ugal.ro](mailto:rectorat@univ.ugal.ro)

---

**DESCRIEREA ȘTIINȚIFICĂ ȘI TEHNICĂ  
(DST)**

**la contractul cu tema**

**SISTEME AUTONOME DE GENERARE A ENERGIEI PRIN  
TRIGENERARE UTILIZÂND COMBUSTIBILI ECOLOGICI  
- SAGETRIGEN-**

**FAZA DE EXECUTIE NR.III – 2009**

**CU TITLUL**

**"Stabilirea modelelor matematice ale componentelor,  
conectarea în ansamblu și validarea prin simulare"**

Director proiect  
Prof.dr.ing. Badea Nicolae

## CUPRINS-ETAPA III

### STABILIREA MODELELOR MATEMATICE ALE COMPONENTELOR, CONECTAREA ÎN ANSAMBLU ȘI VALIDAREA PRIN SIMULARE

**Obiective generale**

**Obiective specifice etapei II**

**Rezumat**

#### DESCRIEREA ȘTIINȚIFICĂ ȘI TEHNICĂ

-DST-

<b>Activitatea III.1 Stabilirea modelelor matematice pentru componentelete sistemului</b>	1
Activitatea III.1.1 Stabilirea modelelor matematice pentru conversia energie combustibil în energie termică	1
Activitatea III.1.2 Stabilirea modelelor matematice pentru conversie energie termică în energie mecanică și a energiei mecanice în energie electrică	10
Activitatea III.1.3 Stabilirea modelelor matematice pentru conversie energie termică în frig	31
Activitatea III.1.4 Alegerea soluției optime de producere a frigului în sistemele de trigenerare, din punct de vedere al randamentului energetic	44
Activitatea III.1.5 Modelarea a motorului termic pentru optimizarea raportului dintre combustibil consumat și energia mecanică produsă, respectiv a raportului dintre combustibil consumat și energia termică produsă	55
Activitatea III.1.6 Optimizarea energetică a generatorului electric prin reducerea pierderilor folosind metodele de simulare numerică și compensarea puterii reactive	97
<b>Activitatea III.2 Stabilirea modelului matematic al sistemului cu trigenerare</b>	112
<b>Activitatea III.3 Stabilirea restricțiilor modelului</b>	116
<b>Activitatea III.4 Validarea modelelor prin simulare</b>	118
Activitatea III.4.1 Studiul performanțelor sistemului de trigenerare	118
Activitatea III.4.2 Studiul folosirii eficiente a căldurii reziduale (rezultate din motorul termic și generatorul electric) din sistemul de trigenerare	152

Activitatea III.4.3 Studiul asupra alegerii corespunzătoare a mașinilor electrice și termice din cadrul sistemului de trigenerare în funcție de curbele de sarcină ale utilizatorilor	160
Activitatea III.4.4 Compatibilizarea modelelor și a instrumentelor soft folosite	172
<b>Concluzii</b>	<b>176</b>
<b>Bibliografie</b>	<b>177</b>

## Notății

CCHP - Combined Cooling, Heating and Power	$c_v$ - caldura specifică volumică (la volum constant)
SCHP - Separate Cooling, Heating and Power	$Q_{in}$ - caldura primită (caldura la intrare)
CHRP - Combined Heating, Refrigeration and Power	$\eta_{Otto}$ - randamentul ciclului Otto
BCHP - Building Cooling Heating and Power .	V - volum
CCPP - Combined Cycle Power Plant	r - raport de compresie
CHP - Combined Heating and Power	p - presiune
DER - Distributed/Decentralized Energy Resources	k - raport specific al caldurii
DP - Distributed/Decentralized Power	h - entalpia specifică
DG - Distributed Generation/ Decentralized Generation	QDin - caldură primită de ciclul Diesel
GE - generator electric,	QD,aut – caldură cedată de ciclul Diesel
MT - motor termic ,	WDiesel - lucrul mecanic al ciclului Diesel
MP - motor primar	$C_p$ - căldura specifică la presiune constantă
SC - schimbator de caldura	Rc - raport compresie limită
GE - generator electric;	$\eta_{Diesel}$ - randamentul ciclului Diesel
RCM - refrigeratator cu compresie mecanica	$W_c$ - lucrul mecanic al ciclului Brayton
Rab - refrigeratator cu absorbtie	$W_t$ - lucrul mecanic al turbinei cu ciclu Brayton
Rad - refrigeratator cu adsorbtie	$Q_s$ - caldura primită a ciclului Brayton
AC - aer conditionat	$W_{net}$ - lucrul mecanic net al ciclului Brayton
IC - Combustie Interna	$\eta$ - randamentul ciclului Brayton
$W_{Otto}$ , - $L_{Otto}$ lucrul mecanic al unui ciclu Otto	$\eta_c$ - randamentul compresiei isentropice
M - masa	$\eta_t$ - randamentul compresiei isentropice a turbinei
u - energie internă specifică	$W_{comp}$ - lucrul mecanic al compresorului
T, - temperatură absolută, K	

$W_{turb}$	-lucrul mecanic al turbinei cu gaz	$Q_{D,out}$	- caldura iesire pentru ciclul Diesel
$Q_{out}$	- caldura cedata de condensator	$Q_{otto,in}$	- caldura intrare pentru ciclul Otto
$Q_{in}$	- caldura primita de evaporator	$Q_{otto,out}$	- caldura iesire pentru ciclul Otto
$W_{in}$	- lucrul mecanic al compresorului	$r$	- coeficient compresie
$W'_{in}$	-lucrul mecanic al pompei	$k$	- raportul caldurilor specifice
$Q'_{in}$	- caldura dezvoltata in generator	$h$	- entalpia specifica
$Q'_{aut}$	-caldura cedata in absorber	$Q_{in}$	- caldura intrare
$\dot{m}$	- debit masic	$Q_{out}$	- caldura iesire
$i$	- entalpia	$W_c$	- lucrul mecanic al compresorului pentru un ciclu Brayton
$x$	- concentrația	$W_t$	- lucrul mecanic al turbinei pentru un ciclu Brayton
$\dot{q}$	- rata schimbului de caldura	$Q_s$	- caldura intrare pentru un ciclu Brayton
$\varepsilon$	- eficiența schimbului de caldura	$\eta$	- randament termic pentru un ciclu Brayton
$P$	-puterea la iesire a pompei	$\eta_c$	- randament isentropic compresor
$p$	- presiune	$\eta_t$	- randament isentropic turbina
$\eta_p$	- randamentul pompei	$W_{in}$	- lucru mecanic compresor
$v$	- volum specific	$W'_{in}$	- lucru mecanic pompa
$m$	- masa	$\eta_p$	- randament pompa
$V$	- volum	$Q'_{in}$	- caldura intrare generator
$T$	- temperatura	$Q'_{out}$	- caldura iesire absorber
$P$	- presiune	$\dot{m}$	- debit masic
$C_v$	- caldura specifica la volum constant	$i$	-entalpia
$C_p$	- caldura specifica la presiune constanta	$x$	- concentratia
$u$	- energie specifica interna	$\dot{q}$	- flux de schimb de caldura
$W_{Otto}$	- lucru mecanic pentru ciclul Otto	$\varepsilon$	- randament al schimbului de caldura
$W_{Diesel}$	- lucru mecanic pentru ciclul Diesel	$v$	- volum specific
$\eta_{Otto}$	-randament termic al ciclului Otto	$W_p$	- putere pompa
$\eta_{Diesel}$	-randament termic al ciclului Diesel		
$Q_{D,in}$	- caldura intrare pentru ciclul Diesel		

## **OBIECTIV GENERAL**

*Obiectivul general* urmărește studiul și realizarea unui echipament complex cu trigenerare capabil să producă electricitate, apă caldă și căldură sau frig cu o distribuție descentralizată, elastică (apă caldă și electricitate, apă caldă și racire, apă caldă și căldură sau orice altă combinație), optională la dispozitia utilizatorului în funcție de necesitatile orare cat și zonale, tinând seama de topologia cladirii rezidențiale.

## **OBIECTIVUL SPECIFIC AL ETAPEI**

**O.3** Stabilirea modelelor matematice proprii și de interacțiune ale sistemelor cuplate, în vederea unei analize și sinteze pe baza de model. Toate activitățile activitățile prezentei etape sunt în corelare cu obiectivul specific descris în propunerea de proiect

## **REZUMAT**

Procedeele utilizate pentru obținerea prin micro-trigenerare a energiei electrice, căldurii și frigului, căldurii se bazează, în general, pe transformarea energiei chimice a combustibililor în cadrul proceselor de ardere. Modelarea sistemelor mCCHP se bazează pe cunoașterea în detaliu a modelelor de ardere a combustibilor folosite: hidrogen, motorina, gaz natural, biogaz și hidrogen. În cadrul activității III.1.1 s-au descris ecuațiile care guvernează arderea și cinetica acestui proces pentru diferiți combustibili.

Activitatea III.1.2 stabilește modelele matematice pentru conversia energiei termice în energie mecanică (III.1.2.2) și a energiei mecanice în energie electrică (III.1.2.3). Tipul mCCHP-ului este determinat de tipul echipamentului de generare a energiei electrice și a modului de recuperare a căldurii.. Pentru o structură generală de mCCHP se pot utiliza diferite variante de echipamente, fiecare caracterizate de modele matematice proprii, prezентate în subcapitolele A-D pentru turbine cu abur, turbine cu gaz, motoare Diesel, Otto și Stirling. În activitatea III.1.2.3, sunt stabilite modelele matematice ale generării de energie electrică din lucru mecanic. Modelele matematice ale diferitelor soluții de realizare a conversiei mecanic/electric (generator sincron, generatorul sincron cu magneti permanenti) sunt prezентate inclusiv prin prisma puterii și cuplului, eficienței energetice și a comportării în regim dinamic. Un accent deosebit se pune pe generatorul sincron cu magneti permanenti ca pe o soluție viabilă a sistemelor mCCHP pentru uz rezidențial.

Modelele matematice pentru conversia energiei termice în frig sunt prezентate în activitatea Activitatea III.1.3. Pentru sistemele mCCHP obținerea eficiență a frigului necesar asigurării confortului termic este cea mai delicată problemă, deoarece energia disponibilă este sub formă de căldură. Sunt prezентate modelele matematice ale obținerii frigului prin metodele compresiei mecanice (III.1.3.1), prin absorbtie (III.1.3.2.A) și prin adsorbție (III.1.3.2.B) cu variantele lor tehnologice. Asigurarea unui transfer eficient al fluxului termic în diverse condiții termocinamice presupune eficientizarea schimbărilor de căldură (COP maxim), în acest sens fiind prezентate modelele matematice ale subsistemelor de refrigerare: schimbătoare de căldură, pompe, condensor, evaporator ((III.1.3.2.C.1-(III.1.3.2.C.6).Pe baza modelelor matematice ale elementelor sistemelor mCCHP și a structurilor de sistem propuse și analizate în cadrul activității III.1.4., se determină soluția optimă de producere a frigului în sistemele de trigenerare, din punct de vedere al randamentului energetic (III.1.4.2.Analiza energetică a soluției trigenerare). Sunt evidențiați principalii indicatori energetici (COP -coeficient de performanță și EES -

indicele de trigenerare), pentru sistemele CCHP si mCCHP. Pe baza ecuatiei EES asociate modelului mCCHP se prezinta variatii ale acestui indice in conditii limita de functionare prin prisma cererii si ofertei de energie electrica, caldura sau frig.

Pentru fiecare structura propusa in cadrul proiectului de sistem mCCHP (prezentate in activitatile III.4.1.1 A-C) s-a facut o analiza a eficientei energetice a conversiilor pentru doua situatii limita de functionare caracteristice acestor sisteme, respectiv vara/iarna. Similarile au scos in evidenta o scadere a eficientei globale (EET) pe perioada de vara datorita subsistemului de generare a frigului (COP). Aceste analize au fost facute pentru regimurile stationare.

Sistemele de trigenerare de putere mica, care fac subiectul prezentului proiect, sunt dependente de variația puternică a consumurilor de energie electrică, termică și frig din rezidență. Drept urmare, sistemul mCCHP este caracterizat de o funcționare dinamică, iar imbunatatirea performanțelor implica introducerea sistemelor de stocare a energiei (caldura, electrica).

Elementele componente ale diferitelor variante de sistem mCCHP-trigenerare au fost simulate pe baza modelelor matematice prezentate in activitatile III.1.2 si III.1.3, folosind mediul de programare Matlab/Simulink. Analiza dinamicii motorului primar pentru regimul de pornire cat si pentru aplicarea unei sarcini/perturbatii a fost realizata in activitatea III.4.1.2.A unde s-a pus in evidenta rolul important al sistemelor de reglare automata pentru imbunatatirea regimului tranzitoriu.

In activitatea III.4.1.2.B a fost analizata in Matlab/Simulink dinamica generatorul sincron electric, iar in activitatea III.4.1.2.C si D s-a prezentat analiza dinamicii schimbatorului de caldura si sistemului de refrigerare

Studiul folosirii eficiente a căldurii reziduale (rezultate din motorul termic și generatorul electric) din sistemul de trigenerare, prezentat in activitatea III.4.2. este util in proiectarea modelului experimental al sistemului de trigenerare.

Dimesionarea elementelor sistemului mCCHP este abordata in Activitatea III.4.3., unde este evidentiat rolul raportului ( $P/P_{th}$ ) la consumator. Cunoasterea acestui raport, ca medie zilnica si anuala, permite armonizarea cererii si ofertei de energie, respectiv alegerea motorului termic primar. Optimizarea functionarii sistemului de trigenerare depinde de indicatorii proprii si coeficientii de conversie, a caror analiza a fost prezentata in activitatea III.4.3.2.A. Derivând parțial în raport cu coeficientul termic și frigorific de trigenerare se pot determina condițiile pentru care eficiența energetică a producerii mixte de energie este constantă la variația acestor indicatori. Complexitatea domeniului CCHP face ca modelele funktionale sa fie din domenii diferite ale stiintelor tehnice (electrice, termice, mecanice, chimice) iar tratarea unitara este esentiala in obtinerea unor simulari viabile(activitatea III.4.4). Tinand cont de faptul ca in fiecare domeniu al stientei au fost dezvoltate programe specifice si performante de analiza si simulare (Matlab/simulink pentru automatizare, PSIM pe partea electrica, Autocad, Solidworks, Catia pe partea mecanica etc) compatibilitatea intre programe este limitata si de aceea utilizarea modelelor si rezultatelor simularii este dificila. Majoritatea acestor programe permit exportul si importul datelor si al rezultatelor in Matlab, motiv pentru care am optat pentru utilizarea acelor soft-uri ce au aceasta facilitate. Matlab-ul permite conceperea schemelor de reglare si automatizarea a proceselor din CCHP. Modelele matematice ale componentelor sistemului de trigenerare implementate in Matlab/Simulink au fost

verificate si cu soft-ul Engineering Equation Solver (EES) in special pentru partea termica iar in PSIM pe partea electrica.

## CONCLUZII

1. Modelele matematice aferente componentelor sistemului cu trigenerare indica un numar ridicat de ecuatii aferente sistemului cu trigenerare, ecuatii neliniare a caror rezolvare este posibila numai prin softuri specializate care necesita putere mare de calcul;
2. Sistemele CCHP se diferențiaza prin:
  - a- modul de realizare al conversiei primare
  - b- modul de realizare a refrigerarii
  - c-variantele tehnologice de recuperare a caldurii influenteaza eficienta globala a sistemului CCHP in corelatie cu parametrii termodinamici ai energiei termice
3. Simularea numerica a sistemelor mCCHP indica eficienta globala cuprinsa intre 60-70%, diferențiată pe perioada iarna/vara;
4. In urma similarilor realizate pe schemele conceptuale ale sistemelor mCCHP propuse se constata influenta majora pe care o are motorul termic primar asupra eficientei globale in ambele situatii limita folosite pentru simulare: vara/iarna;
5. Metodele de crestere ale puterii motoarelor primare sunt extensive (cresterea cilindreei, frecventa ciclurilor) si intensiv termodinamice (supralimentare);
6. Eficienta energetica a trigenerarii este influențată de parametri și indicatori tehnici precum coeficientii de trigenerare, indicele de structură a producției de energie, indicele frigorific;
7. Pentru a obține o eficiență energetică maximă randamentele de producere a energiei și coeficientii de performanță ai instalațiilor frigorifice de vârf trebuie să tindă spre valori maxime. Producerea frigului în instalații de bază trebuie să se facă utilizând instalații frigorifice cu absorbție, iar producerea frigului în instalații de vârf trebuie să se facă utilizând instalații frigorifice cu compresie. Totodată pentru a obține o eficiență maximă producția de căldură și frig trebuie să fie mai mare decât producția de energie electrică;
8. Datorita randamentului specific al sistemelor de refrigerare cu absorbtie/adsorbtie eficienta energetica a sistemelor mCCHP scade in perioada de vara comparativ cu perioada de iarna;
9. Sistem rezidențial CCHP cu pile de combustie a fost propus a fi realizat experimental. In baza raportul dintre energia electrică și energia termică utilă  $P/P_{th}$  din locuință, raport determinat pe baza cererii consumatorului rezidențial se poate alege, rezultat al comparării cu indicele de cogenerare structura de sistem CCHP ce poate realiza cu raport apropiat. Variabilitatea ridicata orara, lunara si sezoniera a acestui factor implica introducerea de sisteme de incalzire sau stocare a energiei pentru asigurarea cerintelor consumatorilor casnici. Sistemul CCHP propus se compune in acest mod dintr-o pila de combustie ce poate urmari si asigura cererea de energie electrica si un sistem de generare caldura ce trebuie sa acopere necesarul termic in conditii de vârf. Instalația de generare frig poate fi cu compresie mecanica, caz in energia de intrare in instalatia frigorifica este electrica sau instalatie cu compresie termica, caz in energia de intrare in instalatia frigorifica este termica. Indiferent de tipul de refrigerare agentul frigorific este

apa racita la 3-5 °C care se este pompata in ventiloconvectoare . Acestea din urma realizeaza transferul final de frig in spatiul de locuit. Ventilo-conectoarele ofera posibilitatea unei functionari duale apa rece/apa calda astfel ca in perioada de iarna pot fi folosite la incalzire schimband calea de circulatie a agentului termic, in spate de la acumulatorul de apa calda si unitatea de incalzire la varf. Schema functionala a sistemului CCHP este redata in figura 1.

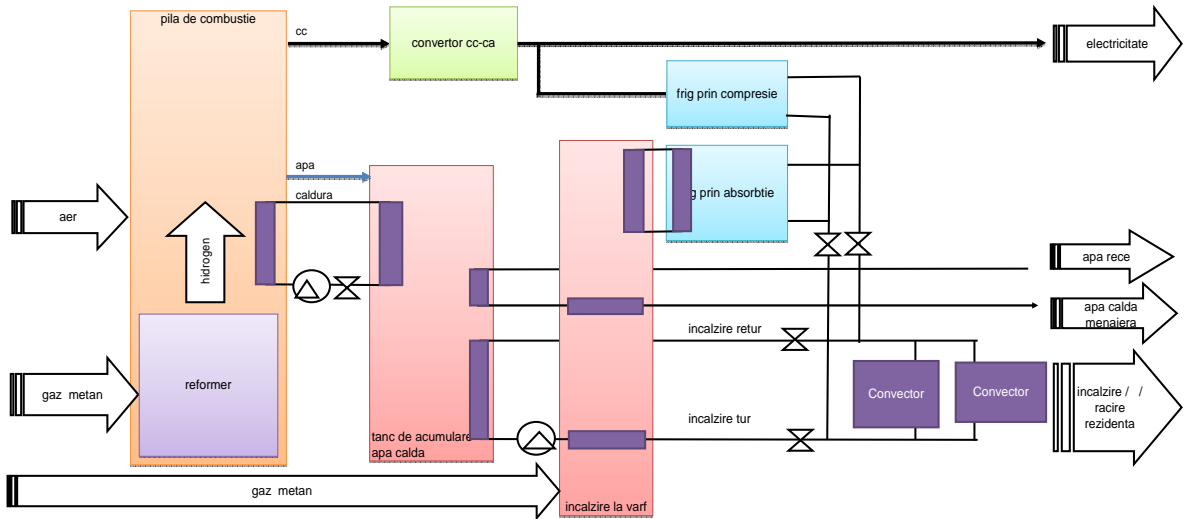


Figura 1. Schema funcțională a sistemului CCHP

#### A. Diagrama conversiei energiilor in sistemului CCHP

Schemei funktionale a sistemului CCHP redata in figura1 ii corespunde diagrama energetica din figura 2 . In baza performantelor individuale ale elementelor componente se analizeaza eficienta energetica totala a sistemului CCHP. Celor doua variante de racire le corespund conform figurii urmatoarele relatii intre energii

a. Varianta cu compresie mecanica

$$E_{cg} = E + E_c = E + \frac{F_c}{COP_c}, \quad Q_{cg} = \gamma E_{cg}, \quad Q_D = Q_{cg} - Q_{AM}, \quad Q_D + Q_{CV} = Q_I$$

b. Varianta cu compresie termica

$$E_{cg} = E, \quad Q_{cg} = \gamma E_{cg}, \quad Q_D = Q_{cg} - Q_{AM}, \quad Q_D + Q_{CV} = Q_I + \frac{F_a}{COP_a}$$

Relatiile sunt completeate cu

$$\alpha_e = \frac{E_{cg}}{W_{cg}}, \quad \alpha_Q = \frac{Q_{CV}}{W_V}, \quad W = W_{cg} + W_V, \quad \eta_{CCHP} = \frac{E + F + Q_I + Q_{AM}}{W}$$

Unde  $\gamma$ - indicele de cogenerare al pilei de combustie.

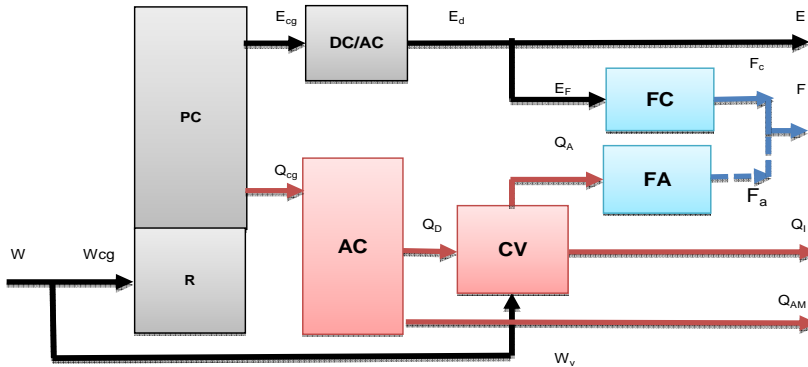
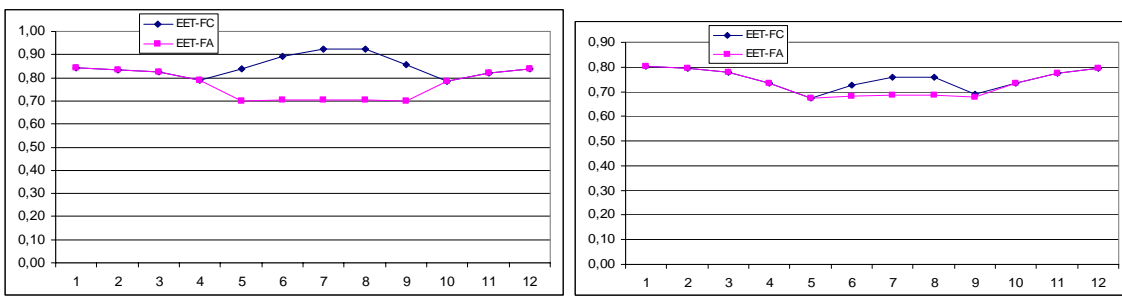


Figura 2. Diagrama distribuției energiilor în CCHP

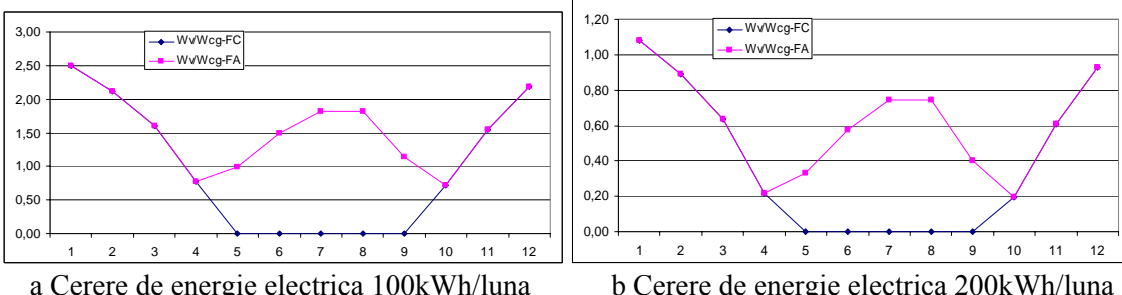
Rezultatele simularii numerice, pentru un COP-3 al sistemul de racire cu compresie mecanica si COP-0,8 al celui cu compresie termica, evidențiază la consum redus de energie electrica, un randament superior al instalatiei cu compresie mecanica (figura 3a). La consumuri ridicate ale energiei electrice randamentul instalatiei cu activare termica se apropie de cel al sistemului de racire cu compresie mecanica (figura 3 b).



a Cerere de energie electrică 100 kWh/luna      b Cerere de energie electrică 200 kWh/luna

Figura 3. Randamente ale sistemului CCHP

Energia gazului metan este consumată în perioada de iarnă atât de pila cat și de sistemul de încalzire suplimentară (figura 4 a). Diferența între cele două moduri de realizare a sistemului de racire își pună amprentă asupra consumului de combustibil în perioada de vară (figura 4 a ,b) în care se consumă o cantitate mai mare de combustibil comparativ cu sistemul de încalzire în special la cerere redusă de energie electrică.



a Cerere de energie electrică 100kWh/luna

b Cerere de energie electrică 200kWh/luna

Figura 4. Raportul energiilor sursa intermedie/pilă combustie

Economia de energie realizată prin utilizarea sistemului de racire cu compresie mecanica poate fi dedusă din figura 5 unde au fost prezentate energia combustibilului consumat

pentru cele două cereri de energie electrică. Pentru o cerere lunată de energie electrică de 100 kWh economia de combustibil este de  $80\text{m}^3$ .

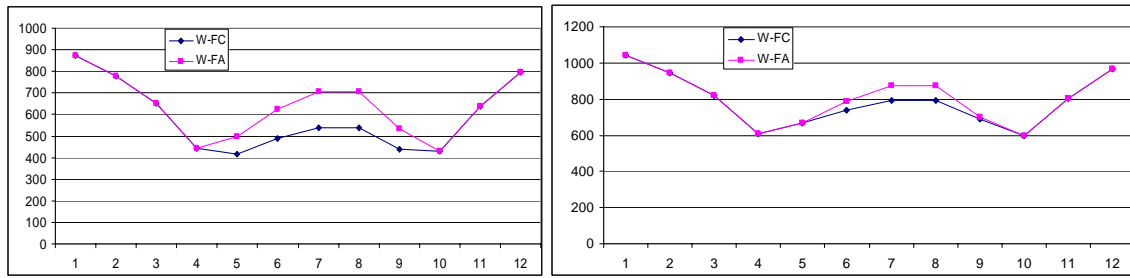


Figura 5. Energia combustibilului

## BIBLIOGRAFIE

1. Midwest CHP Application Center and Avalon Consulting, Inc, Combined heat & Power (CHP) resource guide, 2003;
2. Mississippi cooling, heating, and power (micro CHP) and bio-fuel center, Cooling, heating, and power for buildings (CHP-B) Instructional module, January 2004;
3. Mississippi cooling, heating, and power (micro CHP) and bio-fuel center, micro-cooling, heating, and power (m-CHP) instructional module, December 2005;
4. U.S. Department of energy, Single-cooling, heating, and power (CHP) performance metric and energy savings assessment, October, 2004;
5. Pacific Northwest National Laboratory, Advanced CHP control algorithms: scopespecification, April 2006;
6. Pacific Northwest National Laboratory, Specification of selected performance monitoring and commissioning verification algorithms for CHP systems, October, 2006;
7. ANDRE GENON, WILLY LEGROS, Machines électriques, Hermes Science Europe, 2000, 350 pg ;
8. ATANASIU, G., BOLDEA, I., Analiza unitară a mașinilor electrice, Ed. Academiei, Bucureşti, 1993;
9. MĂGUREANU, R., Mașini electrice speciale pentru sisteme automate, Ed. Tehnică, Bucureşti, 1980;
10. MARCEL JUFER, Traité d'Électricité, Vol X, Machines électriques, Presses Polytechniques et universitaires Romandes, Paris, 1995, 386 pg. ;
11. FRANSUA, AL., Mașini și acționări electrice - Probleme fundamentale -, Ed. Tehnică, Bucureşti, 1985;
12. GALAN, N., GHIȚĂ, C., CISTELECAN, M., Mașini electrice, Bucureşti, E.D.P. 1981;
13. GHEORGHIU, I. S., FRANSUA , AL., Tratat de mașini electrice, Vol. 1, 2, 3, 4 Bucureşti, Ed. Academiei, 1970 -1971;
14. GHIȚĂ, C., Converteoare electromecanice, Vol. 1, Ed. ICPE, Bucureşti, 1998;

15. GHITĂ, C., Convertoare electromecanice, Vol. 2, Ed. ICPE, Bucureşti, 1999;
16. GHITĂ, C., Convertoare electromecanice, Vol. 3, Ed. ICPE, Bucureşti, 2001;
17. BODEFELD, TH., SEQUENZ, H., Elektrische Maschinen, Viena, 1972;
18. BOLDEA, I., Parametrii maşinilor electrice, Ed. Academiei, Bucureşti, 1991;
19. CÂMPEANU, A., Masini electrice, Craiova, Scrisul romanesc, 1987;
20. BĂLĂ, C., Maşini electrice, E.D.P., Bucureşti, 1982;
21. ILAŞ, C., Teoria sistemelor de reglare automată, Ed. Matrix Rom, Bucureşti, 2001;
22. NASAR, A., BOLDEA, I., Electrical machines: dinamics and control, CRS Press, 1993.
23. Pacific Northwest National Laboratory, Monitoring and commissioning verification algorithms for CHP systems, March 2008;
24. Sven Erik Mattsson, On Modeling Of Heat Exchangers In Modelica, *Proceedings of the 9th European Simulation Symposium*, ESS'97, Oct 19-23, 1997, Passau, Germany, 1997;
25. Granet, Irwing. *Thermodynamics and heat power*. 2<sup>nd</sup> Edition. Reston Publishing Company, Inc. 1980.
26. HORLOCK J. H., Cogeneration – Combined Heat & Power (CHP). Thermodynamics and Economics, Kriegen Pub, 1997.
27. HORLOCK J. H., Combined Power Plants. Including Combined Cycle Gas Turbine (CCGT) Plants, Pergamon Press, Oxford, 1992.
28. Haywood R. W., Analysis of Engineering Cycles, Power, Refrigerating and Gas Liquefaction Plant, Pergamon Press, Oxford, 1991.
29. Athanasovici V., Utilizarea căldurii în industrie, Vol. I, Editura Tehnică, Bucureşti 1995;
30. Athanasovici V., Le Corre O., Brecq G. și Tazerout M., Thermoconomic Analysis Method for Cogeneration Plants, Proceedings of ECOS'2000, Nederland, pp. 157-164, 2000.
31. Staicovici M. D., Polybranched regenerative GAX cycles for combined power and cooling production, Proceedings of Int. Congr. Refrig., 19<sup>th</sup>, 4A, pp. 542-551, 1995.
32. Archer D. H., Wimer J. G. și Williams M. C., A phosphoric acid fuel cell cogeneration system retrofit to a large office building, Proceedings of Intersociety Energy Conversion Engineering Conference, Vol. 2, pp. 817-824, 1997.
33. Havelský V., Energetic efficiency of cogeneration systems for combined heat, cold and power production, International Journal of Refrigeration 22, pp. 479-485, 1999.
34. Silveira L. J., Walter A. C. da S. și Luengo C. A., Cogeneration for small users: case studies for Brazilian tertiary sector, Proceedings, ASME Cogen-Turbo Power Conference, Austria, 1995.
35. Silveira L. J., Leal E. M. și Ragonha Jr. L. F., Analysis of a molten carbonate fuel cell: cogeneration to produce electricity and cold water, Energy 26, pp. 891-904, 2001.
36. Ahluwalia V., Cogeneration case study – Sydney Institute of Technology, AIRAH Journal, Apr., 49 (4), pp. 19-26, 1995.

37. Costa M. H. A. și Balestieri J. A. P., Comparative study of cogeneration systems in a chemical industry, *Applied Thermal Engineering* 21, pp. 523-533, 2001.
38. Tolmasquim M. T., Szklo A. S. și Soares J. B., Economic potential of natural gas fired cogeneration plants at malls in Rio de Janeiro, *Energy Conversion and Management* 42, pp. 663-674, 2001.
39. Gamou S., Yokoyama R. și Ito K., Optimal unit sizing of cogeneration systems in consideration of uncertain energy demands as continuous random variables, *Energy Conversion and Management* 43, pp. 1349-1361, 2002.
40. Er D. și Göktun S., Optimum performance of an irreversible solar-driven cogeneration heat pump system, *Energy Conversion and Management* 42, pp. 329-337, 2001.
41. Göktun S. și Özkaynak S., Performance parameters for the design of a solar-driven cogeneration system, *Energy* 26, pp. 57-64, 2001.
42. Göktun S., Solar powered cogeneration system for air conditioning and refrigeration, *Energy* 24, pp. 971-977, 1999.
43. Leal E. M. și Silveira J. L., Study of fuel cell co-generaion systems applied to a diary industry, *Journal of Power Sources* 106, pp. 102-108, 2002.
44. Fang M., Luo Z., Li X., Wang Q., Ni M. și Cen K., A multi-product cogeneration system using combined coal gasification and combustion, *Energy* Vol. 23, No. 3, pp. 203-212, 1998.
45. Ahmed M., Arakel A., Hoey D. și Coleman M., Integrated power, water and salt generation: a discussion paper, *Desalination* 134, pp. 37-45, 2001.
46. Darwish M. A., On electric power and desalted water production in Kuwait, *Desalination* 138, pp. 183-190, 2001.
47. Karameldin A. și Mekhemar S., Siting assessement of a water-electricity cogeneration nuclear power plant in Egipt, *Desalination* 137, pp. 45-51, 2001.
48. Kamal I., Thermo-economic modeling of dual-purpose power/desalination plants: steam cycles, *Desalination* 114, pp. 233-240, 1997.
49. Kronenberg G., Cogeneration with the LT-MED desalination process, *Desalination* 108, pp. 287-294, 1996.
50. El-Nashar A. M., Cost allocation in a cogeneration plant for the production of power and desalted water – comparison of the exergy cost accounting method with the WEA method, *Desalination* 122, pp. 15-34, 1999.
51. Rheinländer J., Lippke F., Schmitz-Goeb M. și Tusel G. F., Electricity and potable wate from a solar tower power plant, *Renewable Energy*, Vol. 14, Nos. 1-4, pp. 23-28, 1998.
52. Maheshwari G. P., Al-Ramadhan M. și Al-Abdulhadi M., Energy requirement of water production in dual-purpose plants, *Desalination* 101, pp. 133-140, 1995.
53. Chelbi M., Ghedira L. și Allal S., Evaluation comparative d'un projet de cogénération pour la production d'électricité et d'eau douce pour la Tunisie, *Desalination* 137, pp. 219-224, 2001.
54. Ioan BITIR-ISTRATE : «Valorificarea prin cogenerare a biogazului produs prin tratarea deșeurilor » Teză de Doctorat, Universitatea « Politehnica » Bucureşti, Ianuarie 2002

55. Florin ALEXE, Victor CENUŞĂ : « Producerea energiei electrice și termice în centralele electrice » , Notițe de curs, Anul IV, Facultatea de Energetică, Universitatea « Politehnica » București ;
56. Aurel Câmpeanu – Mașini electrice. Probleme fundamentale, speciale și de funcționare optimă, Ed. Scrisul Românesc, Craiova, 1988;
57. Toma Dordea – Mașini electrice, Editura Didactică și Pedagogică, București, 1970;
58. Constantin Ghiță – Mașini electrice, Ed. MATRIX ROM, București, 2005;
59. Al. Fransua - Mașini și acționări electrice - Probleme fundamentale, Ed. Tehnică, București, 1985;
60. I.S. Gheorghiu, Al. Fransua - Tratat de mașini electrice, Vol. 1, 2, 3, 4 București, Ed. Academiei, 1970 -1971;
61. Stefan Fassbinder Deutsches Kupferinstitut - Programul Leonardo - Condensatoarele într-un mediu bogat în armonici, Iulie 2004;
62. Maria José Resende – Compensarea factorului de putere- e-Lee – laborator virtual;
63. Lucia Dumitru, Cătălin Dumitru – BAZELE ELECTROTEHNICII, București 2004;
64. C. I. Mocanu - Teoria circuitelor electrice, Bucuresti, EDP, 1979;
65. [www.automation.siemens.com](http://www.automation.siemens.com)
66. [www.power-technology.com](http://www.power-technology.com)
67. [www.electro-plus.ro](http://www.electro-plus.ro)
68. [www.technovolt.ro](http://www.technovolt.ro)
69. S. Katipamula,M.R. Brambley, Advanced CHP Control Algorithms: Scope Specification, Pacific Northwest National Laboratory, 2006;
70. A. Khaliq, S.C. Kaushik, Thermodynamic performance evaluation of combustion gas turbine cogeneration system with reheat, Elsevier, 2004;
71. M. P. Boyce, Handbook for Cogeneration and Combined Cycle Power Plants, ASME Press, 2004;
72. I. Dincer, M. A. Rosen, Exergy: Energy, Environment and Sustainable Development, Elsevier, 2007
73. S. Kandlikar, A New absorber heat recovery cycle to improve COP of aqua-ammonia absorption refrigeration system, American Society of Heating, Refrigerating and Air- Conditioning Engineers (ASHRAE)1982;
74. N. Pitchers, Combined Heating, Cooling & Power Handbook: Technologies & Applications, Fairmont Press, 2006;
75. G. Chicco, P. Mancarella, Characterization and Planning of Small-Scale Multigeneration Systems, Doctoral Course, Politecnico di Torino, 2007.
76. Jaber J. O. și Probert S. D., Environmental-impact assessment for the proposed oil-shale integrated tri-generation plant, Applied Energy 62, pp. 169-209, 1999.
77. \*\*\*, New patents, Environment International, Vol. 21, Nr. 3, 1995.
78. Marinescu M., Baran N. și Radcenco V., Termodinamica tehnică, Vol. II, Editura MATRIX-ROM, București, 1998.

79. Fulachier M.-H., Machines frigorifiques à absorption pour une trigénération performante – le point de vue d'un constructeur, Proceedings IFFI/AFF, Noiembrie 1999, pp. 13-21.
80. Moisy J., Etude de trigénération pour le tertiaire, Proceedings IFFI/AFF, Noiembrie 1999, pp. 27-41.
81. Sakata K., La trigénération dans les process industriels, Proceedings IFFI/AFF, Noiembrie 1999, pp. 89-94.
82. Uhlen, K, Foss, B.A., Gjosaeter, O.B., Robust control and analysis of wind/diesel hybrid power plant, IEEE Trans. On energy conversion, Vol.9, no.4, 1994, pp. 701-708;
83. Helsinki university of technology control engineering laboratory, Microgrid modelling and simulation, March 2006;
84. Fortune C., Trigénération et tarification, Proceedings IFFI/AFF, Noiembrie 1999, pp. 95-106.
85. Gallego A. G., Martins G. și Nebra S. A., Absorption refrigeration systems in cogeneration – thermoeconomic analysis of a system using natural gas in a brewery, Proceedings of ECOS'2000, Nederland, pp. 1597-1608, 2000.
86. Alefeld G. și Demmel S., CO<sub>2</sub> emission of competing heat and power supply systems, Proceedings of ECOS'1992, Spain, 1992, 339-343.
87. Le Goff P. și Hornut J. M., The coupling of an absorption-refrigeration with a co-generation system, Chemical Engineering Research & Design, Vol. 77, pp. 663-668, 1999.
88. Ziegler F., și Riesch P., Absorption cycles. A review with regard to energetic efficiency, Heat Recovery System & CHP, Vol. 13, Nr. 2, pp. 147-159, 1993.
89. Bruno J. C., Miquel J. și Castells F., Optimization of energy plants including water/lithium bromide absorption chillers, International Journal of Energy Research, Vol. 24, Nr. 8, pp. 695-717, 2000.
90. Lazzarin R. M., Longo G. A. și Romagnoni P. C., A new HVAC system based on cogenesis by an I. C. engine, Applied Thermal Engineering, Vol. 16, Nr. 7, pp. 551-559, 1996.
91. Leclére P., La thermodynamique au service des économies d'énergie et de l'environnement, Revue General du Froid, Vol. 90, pp. 18-30, Octombrie 2000.
92. Larger D., Machines à absorption en trigénération, Revue General du Froid, Nr. 990, pp. 60-62, Ianuarie-Februarie 1999.
93. Langreck J. și Pruijsma E., Extending the market for cogeneration with absorption refrigeration, Modern Power Systems, pp. 41-42, Iulie 1999.
94. Tozer R. și James R. W., Heat powered refrigeration cycles, Applied Thermal Engineering, Vol. 18, pp. 731-743, 1998.
95. Mostafavi M. și Agnew B., Thermodynamic analysis of combined diesel engine and absorption refrigeration unit – naturally aspirated diesel engine, Applied Thermal Engineering, Vol. 17, Nr. 5, pp. 471-478, 1997.
96. Mostafavi M. și Agnew B., Thermodynamic analysis of combined diesel engine and absorption unit – turbocharged engine with intercooling, Applied Thermal Engineering, Vol. 16, Nr. 8/9, pp. 733-740, 1996.

97. Mostafavi M. și Agnew B., Thermodynamic analysis of combined diesel engine and absorption refrigeration unit – supercharged engine with intercooling, Technical note, Applied Thermal Engineering, Vol. 16, Nr. 11, pp. 921-930, 1996.
98. Maidment G. G., Zhao X. și Riffat S. B., Combined cooling and heating using a gas engine in a supermarket, Applied Energy, Vol. 68, pp. 321-335, 2001.
99. Hisaki H., Kobayashi N., Yonezawa Y. și Morikawa A., Development of ice-thermal storage system using an adsorption chiller, Internal Absorption Heat Pump Conference, Vol. 31, pp. 439-444, 1993.
100. Tozer R. și James R., Absorption chillers applied to CHP systems, Building Service Engineering Research Technology, Vol. 16, Nr. 4, pp. 179-188, 1995.
101. Maidment G. G., Zhao X., Riffat S. B. și Prosser G., Application of combined heat-and-power and absorption cooling in a supermarket, Applied Energy, Vol. 63, pp. 169-190, 1999.
102. Wu Y. J., Rosen M. A., Assessing and optimizing the economic and environmental impacts of cogeneration/district energy systems using an energy equilibrium model, Applied Energy, Vol. 62, pp. 141-154, 1999.
103. Riley J. M. și Probert S.D., Carbon-dioxide emissions from an integrated small-scale CHP and absorption chiller system, Applied Energy Vol. 61, pp. 193-207, 1998.
104. Maidment G. G. și Tozer R. M., Combined cooling heat and power in supermarkets, Applied Thermal Engineering, Vol. 22, pp. 653-665, 2002.
105. Edera M. și Kojima H., Development of a new gas absorption chiller heater – advanced utilization of waste heat from gas-driven co-generation systems for air-conditioning, Energy Conversion and Management, Vol. 43, pp. 1496-1501, 2002.
106. Moné C. D., Chau D. S. și Phelan P. E., Economic feasibility of combined heat and power and absorption refrigeration with commercially available gas turbines, Energy Conversion and Management, Vol. 42, pp. 1559-1573, 2001.
107. Hart D. R. și Rosen M. A., Environmental and health benefits fo district cooling using utility-based cogeneration in Ontario, Canada, Energy, Vol. 21, Nr. 12, pp. 1135-1146, 1996.
108. Silveira J. L. și Gomes L. A., Fuel cell cogeneration system: a case of technoeconomic analysis, Renewable and Sustainable Energy Reviews, Vol. 3, pp. 233-242, 1999.
109. Lin F., Yi J., Weixing Y și Xuzhong Q., Influence of supply and return water temperatures on the energy consumption of a district cooling system, Applied Thermal Engineering, Vol. 21, pp. 511-521, 2001.
110. Few P. C., Smith M. A. și Twidell J. W., Modelling of a combined heat and power (CHP) plant incorporating a heat pump for domestic use, Energy, Vol. 22, Nr. 7, pp. 651-659, 1997.
111. Bruno J. C., Miquel J. și Castells F., Modeling of ammonia absorption chillers integration in energy systems of process plants, Applied Thermal Engineering, Vol. 19, pp. 1297-1328, 1999.
112. <http://www.mhhe.com/engcs/mech/ees>